有躯干双足机器人被动行走及其稳定器

帅 1 2) 孙增圻1)≧ 冯

1) 清华大学计算机科学与技术系,北京100084 2) 北京控制工程研究所,北京100190

⊠通信作者 , E-mail: szq-dcs@ mail. tsinghua. edu. cn

采用 Matlab 仿真的方式构建了一个简单的有躯干双足机器人模型,研究了该模型在斜坡上的被动行走,分析了模 型步行的稳定性,并设计了一个全状态线性反馈步行稳定器。研究结果表明:无任何驱动器的有躯干双足机器人能够实现沿 斜坡而下的被动行走,其步行方式有两种,但均不稳定;设计的全状态反馈稳定器能够较好地稳定模型的被动行走.

关键词 双足机器人;被动行走;稳定性;稳定器

分类号 TP 242.6

Passive dynamic walking of a biped robot with torso and its stabilizer

- 1) Department of Computer Science and Technology , Tsinghua University , Beijing 100084 , China
- 2) Beijing Institute of Control Engineering, Beijing 100190, China

Corresponding author , E-mail: szq-dcs@ mail. tsinghua. edu. cn

ABSTRACT A simulation model of a biped robot with torso was established using Matlab, the passive dynamic walking of this model was studied , the stability of the walking was analyzed , and a full-state linear feedback walking stabilizer was designed. Simulation results show that the model can walk down a slope without any actuator and there are two unstable walking gaits on the same slope. The results also indicate that the model can realize stable walking by adopting the full-state feedback stabilizer.

KEY WORDS biped robots; passive dynamic walking; stability; stabilizers

自 Mcgeer 于 1990 年提出被动行走(passive dynamic walking) 概念[1] 以来,由于被动行走所特有 的节省能量、步行自然的特点,被动行走(或半被动 行走) 已成为双足机器人步行研究的一个热点[2-5].

到目前为止,学者们研究的对象主要是没有躯 干的双足机器人,如最简单型机器人[6]和 Compass-Like 型机器人^[7]. 对于有躯干双足机器人步行的研 究相对较少,这方面的工作主要有: Howell 和 Baillieul^[8]研究了躯干被固定以后机器人步行运动的多 周期现象; Wisse 等^[9] 在机器人两腿之间添加弹簧, 并用机械约束保证机器人躯干位于双腿的角平分线 延长线上,实现了机器人的下斜坡步行; Haruna 等[10] 用一个 PD 控制器控制躯干,实现了有躯干机 器人下斜坡的行走; Narukawa 等[11] 用两个 PD 控制 器分别控制躯干和摆动腿,实现了机器人在水平地 面上的行走.

在以上的这些研究中,研究对象都是有驱动装 置的有躯干机器人. 到目前为止,还没有学者对无 任何驱动装置的有躯干双足机器人的纯被动步行进 行研究. 正如 Mcgeer 在其论文[1] 中所说,只有对纯 被动步行有了足够了解以后,才能设计出合适的驱 动器. 正是基于此,本文对有躯干机器人的纯被动 步行进行了研究. 研究发现有躯干机器人模型只存 在两种不稳定的步行方式,没有稳定的步行方式, 也没有多周期的步行方式.

针对不稳定的步行,本文设计了一个步行稳定 器. 该稳定器为一全状态线性反馈控制器, 其输出 用以控制躯干与支撑腿之间的力矩. 此稳定器与文 献[10]中PD控制器的关键区别在于此稳定器最大 限度地保证了步行的纯被动性. 结果表明: 采用此 稳定器能够实现有躯干双足机器人的稳定被动 行走.

本文首先对机器人的仿真模型及其动力学进行了介绍;随后研究了一个典型的纯被动步行,并对不同的步行方式进行了分析比较;针对不稳定的步行方式设计了一个步行稳定器,并给出了仿真结果;最后对论文进行了分析总结.

1 机器人模型

本文所研究的有躯干双足机器人模型如图 1 所示. 该机器人模型为平面模型,其运动被约束在二维平面中. 该模型为三杆结构,共有四个质点,分别为躯干质点 $m_{\text{\tiny L}}$ 、髋关节质点 $m_{\text{\tiny L}}$ 和腿部质点 $m_{\text{\tiny L}}$ (左右腿各 1 个). 机器人模型的腿及躯干均作为无转动惯量的刚性杆处理. 模型参数的具体数值见表 1.

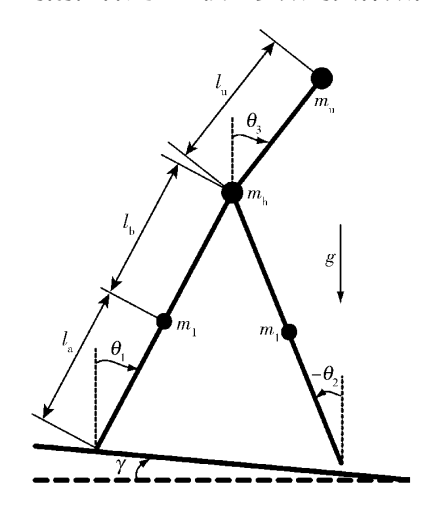


图 1 有躯干机器人模型

Fig. 1 Model of a biped robot with a torso

图 1 中, γ 表示斜面的坡度,机器人的状态参量 θ_1 、 θ_2 和 θ_3 均以水平地面的垂直法线方向作参考,顺时针方向为正. θ_1 为支撑腿角度, θ_2 为摆动腿角度, θ_3 为躯干角度.

表 1 机器人模型参数

Table 1 Parameters of the robot model

$m_{\rm u}/{\rm kg}$	$m_{\rm h}/{\rm kg}$	m_1/kg	$l_{\rm u}/{\rm m}$	$l_{\rm b}/{\rm m}$	$l_{\rm a}/{\rm m}$	g/(m•s -2)
10	10	5	0. 5	0.5	0.5	9. 81

机器人完整的一步行走过程,可以分为两个阶段处理:单腿支撑阶段以及支撑腿切换阶段.

1.1 单腿支撑阶段

在单腿支撑阶段中,机器人模型的支撑脚着地,摆动腿向前摆动。支撑脚与地面的接触作为光滑铰链结构处理,并且忽略摆动脚与地面的刮蹭。整个机器人系统的动力学方程可表示为

$$M(\theta) \dot{\theta} + N(\theta \dot{\theta}) + G(\theta) = 0.$$
 (1)
式中, $\theta = (\theta_1 \theta_2 \theta_3)^{\mathrm{T}}$. 该方程的详细表达式见

附录.

因为模型中无任何驱动器,步行过程中其能量仅来自于重力势能做功,所以式(1)的右端为0.

1.2 支撑腿切换阶段

当机器人双腿的状态满足约束

$$\theta_1 + \theta_2 - 2\gamma = 0 \tag{2}$$

时,机器人的摆动脚着地,支撑腿与摆动腿的角色进行转换,即

$$\begin{cases} \theta_1^+ = \theta_2^-, \\ \theta_2^+ = \theta_1^-, \\ \theta_2^+ = \theta_2^-. \end{cases}$$
 (3)

式中,上角标"-"表示切换之前的变量,上角标"+"表示切换之后的变量.

这些守恒关系可用方程形式表示为

$$\boldsymbol{H}^{\mathrm{n}}(\boldsymbol{\theta}^{+})\dot{\boldsymbol{\theta}}^{+} = \boldsymbol{H}^{\mathrm{o}}(\boldsymbol{\theta}^{-})\dot{\boldsymbol{\theta}}^{-}. \tag{4}$$

式中 $,\dot{\boldsymbol{\theta}} = (\dot{\theta}_1 \ \dot{\theta}_2 \ \dot{\theta}_3)^{\mathrm{T}}.$ 该方程的详细表达式见附录.

机器人在单腿支撑阶段的连续运动与支撑腿切换阶段的瞬间碰撞,构成了机器人一个完整的步行过程.

2 被动行走

本文采用 Matlab 科学计算软件的 Ode113 数值积分方法,对机器人的步行运动进行了仿真 精度为 10^{-8} . 机器人模型摆动脚着地动作用 Ode113 的 'Event'函数进行检测.

2.1 典型的被动行走

图 2 为机器人模型典型单周期步行的一个棍状示意图. 在此行走过程中,斜面坡度为 $0.05 \, \mathrm{rad}$,机器人的初始状态为 $(\theta_1,\theta_2,\theta_3,\dot{\theta}_1,\dot{\theta}_2,\dot{\theta}_3)=(-0.196\,97,0.296\,97,-0.037\,92,1.061\,95,0.354\,13,-0.604\,50)$,步行周期为 $0.718\,\mathrm{s}$,步行长度为 $0.489\,\mathrm{m}$,但该步行不稳定(步行的稳定性会在后文中阐述).

图 3 为模型在该步行中,各关节角随时间变化的曲线. 从图 4 中的闭合曲线可以看出该步行的周期性.

虽然机器人躯干是一个倒立摆模型,但其在不

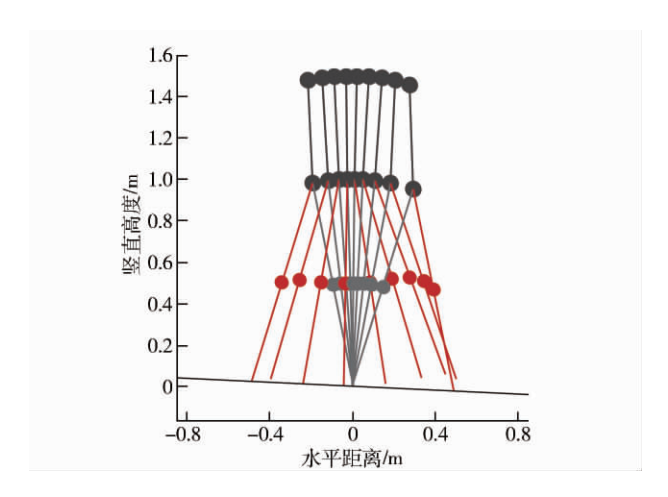


图 2 机器人模型行走示意图

Fig. 2 Sketch of model walking

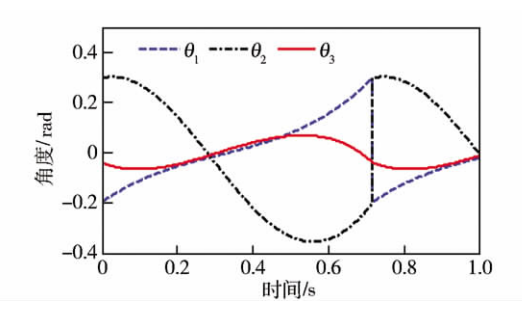


图 3 关节角度随时间变化的曲线

Fig. 3 Curves of joint angle versus time

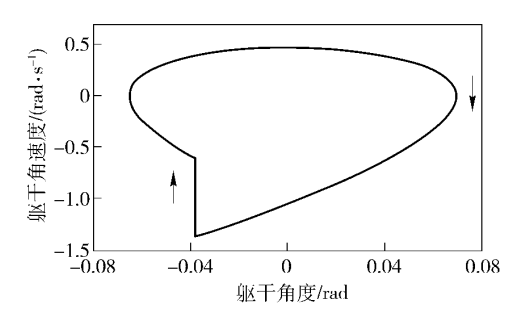


图 4 躯干运动的相平面轨迹

Fig. 4 Trajectory of torso motion in the phase-plane

2.2 两种步行方式

本文在同一坡度上,对机器人模型可能有的步行方式进行了搜索,结果如下.

- (1)在同一坡度上,模型可以实现两种不稳定的步行方式:一种为长周期步行,一种为短周期步行,长周期步行中,摆动腿有回收[12]的运动,而短周期中则没有.
 - (2) 没有发现稳定的步行方式.
 - (3) 没有发现多周期的步行方式.

逐渐改变坡度的大小 得到了图 5~图7.

随着坡度的增加,长周期步行的周期越来越长,短周期步行的周期越来越短;而两种步行方式的步长差别不大(长周期步行的步长略大). 图 7 的 纵坐标为步行能量效率指标(cost of transport, COT),是一个量纲为1的指标^[13],该值越小说明步行越省能.

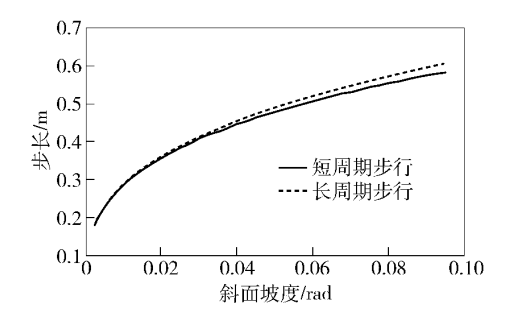


图 5 步长随坡度变化的曲线

Fig. 5 Curves of step length versus slope

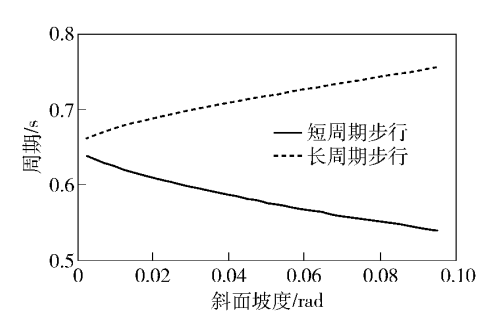


图 6 周期随坡度变化的曲线

Fig. 6 Curves of step period versus slope

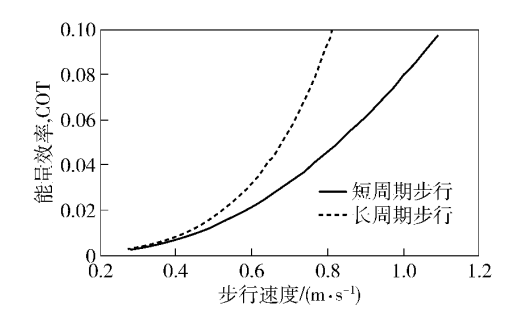


图 7 步行能量效率与步行速度的关系曲线

Fig. 7 Curves of COT versus walking speed

3 稳定性

本文中机器人步行的稳定性采用一般的局部线性稳定性^[7,14].因为下节的稳定器设计与该稳定性的定义关联紧密,为了论文的完整性在此予以说明.

(1) 初始状态 x. 选取机器人在刚碰撞完以后的状态为步行的初始状态 , $x = (\theta_1, \theta_2, \theta_3, \dot{\theta}_1, \dot{\theta}_2, \theta_3, \dot{\theta}_1, \dot{\theta}_2, \dot{\theta}_3, \dot{\theta}_1, \dot{\theta}_2, \dot{\theta}_1, \dot{\theta}_2, \dot{\theta}_1, \dot{\theta}_1, \dot{\theta}_2, \dot{\theta}_1, \dot{\theta}_1, \dot{\theta}_1, \dot{\theta}_2, \dot{\theta}_1, \dot{\theta}_1, \dot{\theta}_2, \dot{\theta}_1, \dot{\theta}_1, \dot{\theta}_2, \dot{\theta}_1, \dot{\theta}_2, \dot{\theta}_1, \dot{$

- $(\theta_a)^{\mathrm{T}}$. 即完整的一步首先是单腿支撑阶段,然后是 支撑腿切换阶段. x_k 为第 k 步的初始状态.
- (2) 跨步函数(step-to-step function) $S^{[1]}$,为将 当前步的初始状态映射到下一步初始状态的函数. 该函数是一个综合了单腿支撑阶段和支撑腿切换阶 段的多变量非线性函数.
- (3) 不动点 x^* ,为机器人初始状态集合中的一 点,满足 $x^* = S(x^*)$. 如果以 x^* 为机器人的初始 状态,经过一步以后,机器人还回到此状态,即产 生周期的步行.

下面在不动点 x^* 附近对跨步函数 S 进行局部 线性化.

该矩阵的特征值为

 $\lambda = [68.89246, -0.05672 \pm 0.64713i \ 0.14375 \ 0.00898 \ 0]$ 可见此步行不稳定.

4 稳定器设计

在机器人模型的躯干与支撑腿之间添加一个力 矩,即动力学方程(1)的右端变为 $(-u \ 0 \ \mu)^{\mathrm{T}}$.并 假设该力矩在步行周期内保持恒定不变. 对跨步函 数进行局部线性化有

$$\mathbf{x}^{*} = S(\mathbf{x}^{*} \quad \mu^{*}) ,$$

$$u_{k} = u^{*} + \delta u_{k} ,$$

$$\mathbf{x}^{*} + \delta \mathbf{x}_{k+1} = S(\mathbf{x}^{*} + \delta \mathbf{x}_{k} \quad \mu^{*} + \delta u_{k}) ,$$

$$\mathbf{x}^{*} + \delta \mathbf{x}_{k+1} \approx S(\mathbf{x}^{*} \quad \mu^{*}) +$$

$$\frac{\partial S(\mathbf{x} \quad \mu)}{\partial \mathbf{x}} \Big|_{\mathbf{x} = \mathbf{x}^{*} \quad \mu = u^{*}} \delta \mathbf{x}_{k} + \frac{\partial S(\mathbf{x} \quad \mu)}{\partial u} \Big|_{\mathbf{x} = \mathbf{x}^{*} \quad \mu = u^{*}} \delta u_{k}.$$

$$(6)$$

式中 u^* 为不动点 x^* 对应的控制力矩.

上一节中纯被动模型的线性化,可以看成是式 (6) 在 $u^* = 0$ $\delta u = 0$ 时的特例. 定义控制矩阵 **B**, $\boldsymbol{B} = \frac{\partial S(\boldsymbol{x} \ \boldsymbol{\mu})}{\partial S(\boldsymbol{x} \ \boldsymbol{\mu})}$ $\frac{1}{\partial u}\Big|_{x=x^*,\mu=u^*}$,B 主要反映了控制力矩的 变化对误差的影响.

忽略高阶无穷小项,线性化式(6)可以表示为
$$\delta x_{k+1} = A \delta x_k + B \delta u_k$$
. (7)

$$\boldsymbol{x}^* + \delta \boldsymbol{x}_{k+1} = S(\boldsymbol{x}^* + \delta \boldsymbol{x}_k) ,$$

$$\boldsymbol{x}^* + \delta \boldsymbol{x}_{k+1} \approx S(\boldsymbol{x}^*) + \frac{\partial S(\boldsymbol{x})}{\partial \boldsymbol{x}} \Big|_{\boldsymbol{x} = \boldsymbol{x}^*} \delta \boldsymbol{x}_k.$$

忽略高阶误差,有

$$\delta x_{k+1} = \frac{\partial S(x)}{\partial x} \bigg|_{x=x^*} \delta x_k. \tag{5}$$

为了后文描述的方便,定义稳定性矩阵.

(4) 稳定性矩阵
$$A. A = \frac{\partial S(x)}{\partial x} \Big|_{x=x^*}$$
. 从式(5)

中可以看出该矩阵实际上是误差的增益矩阵. 只要 该矩阵的所有特征值均位于单位圆内,那么误差会 逐步缩小,即步行是稳定;而如果有特征值位于单 位圆外 则步行是不稳定的.

在此以 2.1 节中的典型步行为例, 对步行的稳 定性予以说明. 稳定性矩阵

因为在纯被动步行中没有任何控制,即 $u^* = 0$, 所以

$$\delta \boldsymbol{x}_{k+1} = \boldsymbol{A} \delta \boldsymbol{x}_k + \boldsymbol{B} \boldsymbol{u}_k. \tag{8}$$

如果控制力矩满足

$$u_k = -L \delta x_k. \tag{9}$$

式中 L 为全状态线性反馈控制率.

那么综合式(8)和式(9),步行稳定器的设计 问题就转化为现代控制理论中设计反馈控制率使得 离散线性系统稳定的经典问题.

在此以 2.1 节中的典型步行为例,采用极点配 置的方法设计控制器.

设定期望的极点

$$p^{d} = [0 \quad 0.1 \quad 0.2 \quad 0.3 \quad 0.4 \quad 0.5],$$

控制矩阵

 $\mathbf{B} = [0.01653 \quad -0.01653 \quad 0.82701 \quad -0.83367 \quad -0.96876 \quad 5.66332]^{\mathrm{T}}$ 求解得到的反馈控制率

 $L = [-45.03174 \ 5.17955 \ 35.86010 \ -6.32360 \ 0.67410 \ 6.00108],$ 稳定性矩阵

$$A' = \begin{bmatrix} -1.30740 & -0.38196 & -0.12699 & -0.48920 & 0.01755 & -0.07065 \\ 1.30740 & 0.38196 & 0.12699 & 0.48920 & -0.01755 & 0.07065 \\ -2.09201 & -0.83516 & 0.84649 & -0.58269 & 0.05413 & 0.13971 \\ 2.82811 & 0.58160 & 0.41630 & 1.09563 & -0.03546 & 0.19530 \\ -1.10259 & -1.75141 & -0.51654 & -0.83903 & 0.10190 & -0.13898 \\ -6.66308 & -4.59099 & 1.44679 & -1.81227 & 0.11111 & 0.38143 \end{bmatrix},$$

真实极点

 $p = [0 \quad 0.10000 \quad 0.20015 \quad 0.29897 \quad 0.40176 \quad 0.49912].$

可见反馈控制器的引入,能够很好地稳定模型 的步行. 示例中真实极点与期望极点的误差来自于 线性化后的系统与原系统的差别.

需要注意的是,因为机器人的初始状态必须满 足 $\theta_1 + \theta_2 - 2\gamma = 0$, 所以式(8) 表示的系统不完全可 控,系统必有一不可控的极点,且该极点值为0.

本文稳定器与文献[10]中PD控制器的区别在 于,本文稳定器只是在机器人初始状态出现误差时 才有控制输出,因此对机器人行走产生的影响非常 小,机器人的运动很大程度上是被动的.

结论

本文研究了有躯干双足机器人的纯被动行走. 研究发现该机器人模型只存在两种不稳定的步行方 式,即没有稳定的步行方式也没有多周期的步行方 式. 两种不稳定的步行,一种为长周期步行,一种 为短周期步行. 两者主要区别在于长周期步行有摆 动腿的回收,因此其周期更长. 随着机器人模型所 在坡度的增加,长周期步行的周期越来越长,短周 期步行的周期越来越短,而两者的步长均越来越长 且基本相同.

针对该模型的不稳定步行,本文设计了一个步 行稳定器. 该稳定器为全状态线性反馈控制器,其 输入为机器人初始状态的误差,其输出用以控制躯 干与摆动腿之间的力矩,且该力矩在一个步行周期 内保持恒定. 这样就可以把稳定器的设计问题转化 为现代控制中反馈控制率的设计问题,进而得以解 决. 本文中给出了一个稳定器设计的示例. 结果表 明: 采用此稳定器能够实现模型的稳定被动行走, 并且此稳定器能够很大程度上保证机器人步行的被 动性.

附录

本附录详细地介绍了机器人模型的动力学 方程.

式(1)中,各矩阵详细表达式为:

$$M(\boldsymbol{\theta}) = \begin{bmatrix} M_{11} & M_{12} & M_{13} \\ M_{21} & M_{22} & M_{23} \\ M_{31} & M_{32} & M_{33} \end{bmatrix},$$

$$N(\boldsymbol{\theta} \ \dot{\boldsymbol{\theta}}) = \begin{bmatrix} N_1 \\ N_2 \\ N_3 \end{bmatrix} \boldsymbol{G}(\boldsymbol{\theta}) = \begin{bmatrix} G_1 \\ G_2 \\ G_3 \end{bmatrix}.$$

式中,

$$\begin{split} M_{11} &= \left(\ m_{\rm u} + m_{\rm h} + m_{\rm l} \right) \left(\ l_{\rm a} + l_{\rm b} \right)^{\ 2} + m_{\rm l} l_{\rm a}^{2} \ , \\ M_{12} &= -m_{\rm l} \left(\ l_{\rm a} + l_{\rm b} \right) \ l_{\rm b} \cos \left(\ \theta_{\rm l} - \theta_{\rm 2} \right) \ , \\ M_{13} &= m_{\rm u} \left(\ l_{\rm a} + l_{\rm b} \right) \ l_{\rm u} \cos \left(\ \theta_{\rm l} - \theta_{\rm 3} \right) \ , \\ M_{21} &= -m_{\rm l} \left(\ l_{\rm a} + l_{\rm b} \right) \ l_{\rm b} \cos \left(\ \theta_{\rm l} - \theta_{\rm 2} \right) \ , \\ M_{22} &= m_{\rm l} l_{\rm b}^{2} \ , \quad M_{23} = 0 \ , \\ M_{31} &= m_{\rm u} \left(\ l_{\rm a} + l_{\rm b} \right) \ l_{\rm u} \cos \left(\ \theta_{\rm l} - \theta_{\rm 3} \right) \ , \\ M_{32} &= 0 \ , \quad M_{33} &= m_{\rm u} l_{\rm u}^{2} \ , \\ N_{1} &= -m_{\rm l} \left(\ l_{\rm a} + l_{\rm b} \right) \ l_{\rm b} \sin \left(\ \theta_{\rm l} - \theta_{\rm 2} \right) \ \dot{\theta}_{\rm l}^{2} + m_{\rm u} \left(\ l_{\rm a} + l_{\rm b} \right) \ l_{\rm u} \sin \left(\ \theta_{\rm l} - \theta_{\rm 2} \right) \ \dot{\theta}_{\rm l}^{2} \ , \\ N_{2} &= m_{\rm l} \left(\ l_{\rm a} + l_{\rm b} \right) \ l_{\rm b} \sin \left(\ \theta_{\rm l} - \theta_{\rm 2} \right) \ \dot{\theta}_{\rm l}^{2} \ , \\ N_{2} &= m_{\rm l} \left(\ l_{\rm a} + l_{\rm b} \right) \ l_{\rm b} \sin \left(\ \theta_{\rm l} - \theta_{\rm 2} \right) \ \dot{\theta}_{\rm l}^{2} \ , \\ N_{3} &= -m_{\rm u} \left(\ l_{\rm a} + l_{\rm b} \right) \ l_{\rm u} \sin \left(\ \theta_{\rm l} - \theta_{\rm 2} \right) \ \dot{\theta}_{\rm l}^{2} \ , \\ G_{1} &= - \left(\left(\ m_{\rm h} + m_{\rm l} + m_{\rm u} \right) \left(\ l_{\rm a} + l_{\rm b} \right) + m_{\rm l} l_{\rm a} \right) \ g \sin \theta_{\rm l} \ , \\ G_{2} &= m_{\rm l} l_{\rm b} g \sin \theta_{\rm 2} \ , \quad G_{3} &= -m_{\rm u} l_{\rm u} g \sin \theta_{\rm 3} \ . \\ \dot{\sigma}_{\rm l} &= -m_{\rm l} \left(\ l_{\rm l} + l_{\rm l} \right) \ d_{\rm l} \ , \\ \dot{\sigma}_{\rm l} &= -m_{\rm l} \left(\ l_{\rm l} + l_{\rm l} \right) \ d_{\rm l} \ , \\ \dot{\sigma}_{\rm l} &= -m_{\rm l} \left(\ l_{\rm l} + l_{\rm l} \right) \ d_{\rm l} \ , \\ \dot{\sigma}_{\rm l} &= -m_{\rm l} \left(\ l_{\rm l} + l_{\rm l} \right) \ d_{\rm l} \ , \\ \dot{\sigma}_{\rm l} &= -m_{\rm l} \left(\ l_{\rm l} + l_{\rm l} \right) \ d_{\rm l} \ , \\ \dot{\sigma}_{\rm l} &= -m_{\rm l} \left(\ l_{\rm l} + l_{\rm l} \right) \ d_{\rm l} \ , \\ \dot{\sigma}_{\rm l} &= -m_{\rm l} \left(\ l_{\rm l} + l_{\rm l} \right) \ d_{\rm l} \ , \\ \dot{\sigma}_{\rm l} &= -m_{\rm l} \left(\ l_{\rm l} + l_{\rm l} \right) \ d_{\rm l} \ , \\ \dot{\sigma}_{\rm l} &= -m_{\rm l} \left(\ l_{\rm l} + l_{\rm l} \right) \ d_{\rm l} \ , \\ \dot{\sigma}_{\rm l} &= -m_{\rm l} \left(\ l_{\rm l} + l_{\rm l} \right) \ d_{\rm l} \ , \\ \dot{\sigma}_{\rm l} &= -m_{\rm l} \left(\ l_{\rm l} + l_{\rm l} \right) \ d_{\rm l} \ , \\ \dot{\sigma}_{\rm l} &= -m_{\rm l} \left(\ l_{\rm l} + l_{\rm l} \right$$

式(4)中,各矩阵详细表达式为:

$$\boldsymbol{H}^{\mathrm{n}}(\boldsymbol{\theta}^{+}) = \begin{bmatrix} H_{11}^{\mathrm{n}} & H_{12}^{\mathrm{n}} & H_{13}^{\mathrm{n}} \\ H_{21}^{\mathrm{n}} & H_{22}^{\mathrm{n}} & H_{23}^{\mathrm{n}} \\ H_{31}^{\mathrm{n}} & H_{32}^{\mathrm{n}} & H_{33}^{\mathrm{n}} \end{bmatrix},$$

$$\boldsymbol{H}^{\mathrm{o}}(\boldsymbol{\theta}^{-}) = \begin{bmatrix} H_{11}^{\mathrm{o}} & H_{12}^{\mathrm{o}} & H_{13}^{\mathrm{o}} \\ H_{21}^{\mathrm{o}} & H_{22}^{\mathrm{o}} & H_{23}^{\mathrm{o}} \\ H_{31}^{\mathrm{o}} & H_{32}^{\mathrm{o}} & H_{33}^{\mathrm{o}} \end{bmatrix},$$

九中.

$$\begin{split} H_{11}^{\mathrm{n}} &= -\left(\,\, m_{\mathrm{h}} + m_{1} + m_{\mathrm{u}} \right) \left(\,\, l_{\mathrm{a}} + l_{\mathrm{b}} \right)^{\,\, 2} - m_{1} l_{\mathrm{a}}^{2} + m_{1} (\,\, l_{\mathrm{a}} + l_{\mathrm{b}} \right) \, l_{\mathrm{b}} \mathrm{cos} \, \left(\,\, \theta_{1}^{+} - \theta_{2}^{+} \right) \, - m_{\mathrm{u}} \left(\, l_{\mathrm{a}} + l_{\mathrm{b}} \right) \, l_{\mathrm{u}} \mathrm{cos} \, \left(\,\, \theta_{1}^{+} - \theta_{3}^{+} \right) \, \, , \\ H_{12}^{\mathrm{n}} &= m_{1} l_{\mathrm{b}} \left(\,\, l_{\mathrm{a}} \mathrm{cos} \, \left(\,\, \theta_{1}^{+} - \theta_{2}^{+} \right) \, - l_{\mathrm{b}} + l_{\mathrm{b}} \mathrm{cos} \, \left(\,\, \theta_{1}^{+} - \theta_{2}^{+} \right) \, \right) \, \, , \\ H_{13}^{\mathrm{n}} &= -m_{\mathrm{u}} l_{\mathrm{u}} \left(\, l_{\mathrm{u}} + l_{\mathrm{a}} \mathrm{cos} \, \left(\,\, \theta_{1}^{+} - \theta_{3}^{+} \right) \, + l_{\mathrm{b}} \mathrm{cos} \, \left(\,\, \theta_{1}^{+} - \theta_{3}^{+} \right) \, \right) \, , \\ H_{21}^{\mathrm{n}} &= -m_{\mathrm{u}} \left(\, l_{\mathrm{a}} + l_{\mathrm{b}} \right) \, l_{\mathrm{u}} \mathrm{cos} \, \left(\,\, \theta_{1}^{+} - \theta_{3}^{+} \right) \, \, , \\ H_{22}^{\mathrm{n}} &= 0 \, \, , \quad H_{23}^{\mathrm{n}} &= -m_{\mathrm{u}} l_{\mathrm{u}}^{2} \, , \\ H_{31}^{\mathrm{n}} &= m_{1} \left(\, l_{\mathrm{a}} + l_{\mathrm{b}} \right) \, l_{\mathrm{b}} \mathrm{cos} \, \left(\,\, \theta_{1}^{+} - \theta_{2}^{+} \right) \, \, , \\ H_{31}^{\mathrm{n}} &= m_{1} \left(\, l_{\mathrm{a}} + l_{\mathrm{b}} \right) \, l_{\mathrm{b}} \mathrm{cos} \, \left(\,\, \theta_{1}^{+} - \theta_{2}^{+} \right) \, \, , \\ H_{22}^{\mathrm{n}} &= -m_{\mathrm{u}} l_{\mathrm{u}} \left(\, l_{\mathrm{u}} + l_{\mathrm{b}} \right) \, l_{\mathrm{a}} \mathrm{cos} \, \left(\,\, \theta_{1}^{-} - \theta_{2}^{-} \right) \, - m_{\mathrm{u}} \left(\, l_{\mathrm{a}} + l_{\mathrm{b}} \right) \, l_{\mathrm{u}} \mathrm{cos} \, \left(\,\, \theta_{1}^{-} - \theta_{2}^{-} \right) \, - m_{\mathrm{u}} \left(\, l_{\mathrm{a}} + l_{\mathrm{b}} \right) \, l_{\mathrm{u}} \mathrm{cos} \, \left(\,\, \theta_{1}^{-} - \theta_{2}^{-} \right) \, - m_{\mathrm{u}} \left(\, l_{\mathrm{a}} + l_{\mathrm{b}} \right) \, l_{\mathrm{u}} \mathrm{cos} \, \left(\,\, \theta_{1}^{-} - \theta_{2}^{-} \right) \, - m_{\mathrm{u}} \left(\, l_{\mathrm{a}} + l_{\mathrm{b}} \right) \, l_{\mathrm{u}} \mathrm{cos} \, \left(\,\, \theta_{1}^{-} - \theta_{2}^{-} \right) \, - m_{\mathrm{u}} \left(\, l_{\mathrm{a}} + l_{\mathrm{b}} \right) \, l_{\mathrm{u}} \mathrm{cos} \, \left(\,\, \theta_{1}^{-} - \theta_{2}^{-} \right) \, - m_{\mathrm{u}} \left(\, l_{\mathrm{a}} + l_{\mathrm{b}} \right) \, l_{\mathrm{u}} \mathrm{cos} \, \left(\,\, \theta_{1}^{-} - \theta_{3}^{-} \right) \, , \\ H_{13}^{\mathrm{o}} &= -m_{\mathrm{u}} l_{\mathrm{u}} \left(\, l_{\mathrm{u}} + l_{\mathrm{a}} \mathrm{cos} \, \left(\,\, \theta_{1}^{-} - \theta_{3}^{-} \right) \, + l_{\mathrm{b}} \mathrm{cos} \, \left(\,\, \theta_{2}^{-} - \theta_{3}^{-} \right) \right) \, , \\ H_{22}^{\mathrm{o}} &= -m_{\mathrm{u}} \left(\, l_{\mathrm{u}} + l_{\mathrm{b}} \right) \, l_{\mathrm{u}} \mathrm{cos} \, \left(\,\, \theta_{1}^{-} - \theta_{3}^{-} \right) \, , \\ H_{23}^{\mathrm{o}} &= -m_{\mathrm{u}} \left(\, l_{\mathrm{u}} + l_{\mathrm{b}} \right) \, l_$$

文 献

- [1] McGeer T. Passive dynamic walking. Int J Rob Res , 1990 , 9(2):
- [2] McGeer T. Dynamics and control of bipedal locomotion. J Theor

- Biol, 1993, 163(3): 277
- [3] Goswami A , Thuilot B , Espiau B. A study of the passive gait of a compass-like biped robot: symmetry and chaos. Int J Rob Res , 1998 , 17(12): 1282
- [4] Hass J , Herrmann J M , Geisel T. Optimal mass distribution for passivity-based bipedal robots. Int J Rob Res , 2006 , 25 (11) : $1087\,$
- [5] Byl K, Tedrake R. Metastable walking machines. Int J Rob Res, 2009, 28(8): 1040
- [6] Garcia M , Chatterjee A , Ruina A , et al. The simplest walking model: stability , complexity , and scaling. J Biomech Eng , 1998 , 120: 281
- [7] Goswami A , Espiau B , Keramane A. Limit cycles in a passive compass gait biped and passivity-mimicking control laws. Auton Robots , 1997 , 4(3): 273
- [8] Howell G W, Baillieul J. Simple controllable walking mechanisms which exhibit bifurcations//Proceedings of IEEE Conference on Decision and Control. Tampa, 1998: 3027

- [9] Wisse M, Schwab A L, Van Der Helm F C T. Passive dynamic walking model with upper body. Robotica, 2004, 22: 681
- [10] Haruna M, Ogino M, Hosoda K, et al. Yet another humanoid walking-passive dynamic walking with torso under simple control//Proceedings of International Conference on Intelligent Robots and Systems. Maui, 2001: 259
- [11] Narukawa T , Takahashi M , Yoshida K. Numerical simulations of level-ground walking based on passive walk for planar biped robots with torso by hip actuators. J Syst Des Dyn , 2008 , 2(2): 463
- [12] Hobbelen D G E , Wisse M. Swing-leg retraction for limit cycle walkers improves disturbance rejection. *IEEE Trans Rob* , 2008 , 24(2):377
- [13] Collins S, Ruina A, Tedrake R, et al. Efficient bipedal robots based on passive dynamic walkers. Science, 2005, 307: 1082
- [14] Goswami A , Espiau B , Keramane A. Limit cycles and their stability in a passive bipedal gait//Proceedings of International Conference on Robotics and Automation. Minneapolis , 1996: 246